

С.І. Драпак, З.Д. Ковалюк

Особливості електричних властивостей ізотипних гетероперехідів p-GaSe-p-InSe

*Інститут проблем матеріалознавства ім. І.М. Францевича НАН України, Чернівецьке відділення,
вул. І. Вільде, 5, м. Чернівці, 58001, Україна,
тел: 8(+03722) 2-00-50, E-mail: chimsp@unicom.cv.ua*

В роботі представлено результати перших досліджень ізотопного гетеропереходу p-GaSe-p-InSe. Аналіз експериментальних результатів дозволив визначити основні механізми струмопереносу, пояснити перевищення величини фото-е.р.с. над контактною різницею потенціалів та інші особливості гетероструктури.

Ключові слова: GaSe, InSe, гетероперехід, вольт-амперні характеристики, емісія Шоттки.

Стаття постуила до редакції 30.03.2004; прийнята до друку 19.05.2004.

I. Вступ

Анізотипний гетероперехід (ГП) p-GaSe-n-InSe становить собою першу і найбільш досліджену фоточутливу структуру, виготовлену методом посадки на оптичний контакт, тобто приведенням в безпосередній контакт поверхонь двох напівпровідників, отриманих шляхом сколу в повітряній атмосфері [1]. Результати дослідження електричних, фотоелектричних, люмінесцентних та інших властивостей таких структур наведено в роботах [1-5]. В ряді робіт, в тому числі і в [6], запропоновано використання даного ГП в якості фотодіода, здатного замінити традиційні аналоги на основі кремнію для роботи в умовах підвищеної радіації. Результати досліджень ізотипних ГП GaSe-InSe в літературі відсутні за виключенням дослідження діапазону фоточутливості каскадної структури p-InSe-p-GaSe-n-Ga₂O₃ [7].

Метою даної роботи було створення і проведення перших досліджень електричних властивостей ізотопного подвійного гетероконтакту p-GaSe-p-InSe.

II. Експериментальні результати та їх обговорення

Для виготовлення ГП було використано монокристали p-InSe, вирощені методом Бріджмена, легованих Zn, з концентрацією дірок, визначеною із холівських вимірювань, $p \sim 10^{14} \text{ см}^{-3}$ при 300 К. В якості контактуючого матеріалу використовувався моноселенід галію GaSe:Du з концентрацією вільних

носіїв $p \sim 10^{16} \text{ см}^{-3}$ при тій же температурі. ГП виготовлялися методом оптичного контакту [1]. Струмовивідні контакти до GaSe та InSe створювалися за допомогою вплавлення індію при температурі $\sim 150^\circ\text{C}$ із сторони моноселеніду галію та срібла зі сторони моноселеніду індію і зберігали омичність в усьому інтервалі досліджуваних густин струмів.

Виготовлені у такий спосіб структури, володіють яскраво вираженими діодними властивостями в широкому діапазоні температур – за напруги 1,5-2 В прямий струм перевищує обернений більш ніж у 10^3 раз. В області прямих зміщень $V > 2$ В вольт-амперні характеристики (ВАХ) описуються співвідношенням

$$V = V_0 + R_0 \cdot J, \quad (1)$$

де залишковий опір $R_0 \approx 10^4$ Ом. Екстраполяція прямої вітки ВАХ, виміряної при $T = 289$ К, в області лінійності до перетину з віссю абсцис дає величину $V_0 \approx 1,2$ В (рис. 1), яку, зазвичай, пов'язують із висотою бар'єру. Відмітимо, що більший струм в ГП p-InSe-p-GaSe протікає при підключенні від'ємного потенціалу зовнішнього джерела живлення до моноселеніду індію. Так як питомий опір p-InSe більш ніж на два порядки перевищує аналогічну величину для p-GaSe і, як наслідок, уся напруга падає саме на цьому напівпровіднику (приймаючи до уваги значення концентрацій і діелектричних проникливостей [10] в обох напівпровідниках на GaSe приходить лише 1/105 частина повної контактної різниці потенціалів), це означає, що p-InSe веде себе в гетероконтакті, як матеріал n-типу провідності, тобто

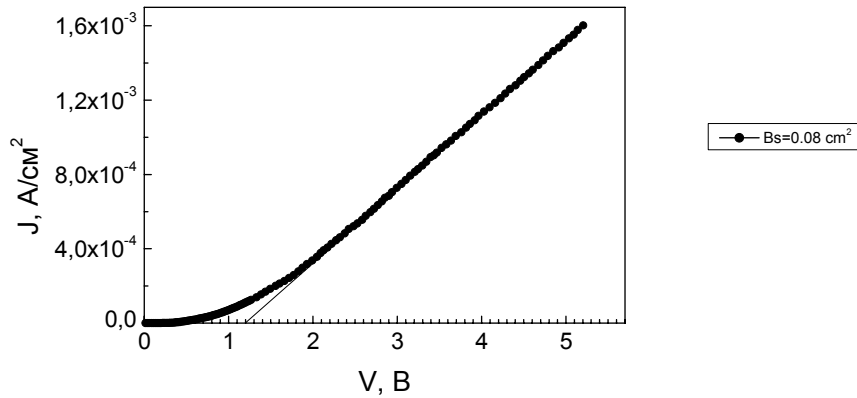


Рис. 1. Прямая вітка вольт-амперної характеристики структури p-InSe-p-GaSe в області великих струмів при $T = 289$ К.

електрони із селеніду індію при прямому зміщенні переходять в селенід галію. У принципі це можливо, оскільки робота виходу p-GaSe значно перевищує аналогічну величину для p-InSe [9,10]. У цьому випадку у InSe повинен був би утворитися шар, збагачений основними носіями заряду (дірками), з омичними електричними характеристиками, що виключає реалізацію випрямляння в ГП p-InSe-p-GaSe. Таким чином випрямляючий характер вольт-амперної характеристики (ВАХ) структури не може бути пояснений із тих міркувань, що в p-InSe існують лише акцепторні домішки. Нелеговані кристали моноселеніду індію є завжди n типу з концентрацією електронів $\sim 10^{14}$ см⁻³. Причому даний тип провідності обумовлюється наявністю мілкового власного донора з енергією іонізації ~ 18 меВ, природа якого пов'язана, як із вакансіями селена, так і з міжвузловими атомами індію [11]. Домішки другої групи (Zn, Cd і As) утворюють акцепторні рівні в InSe з енергією іонізації $\sim 0,25$ еВ [11]. Згідно [9], в InSe реалізується механізм самокомпенсації (одночасне впровадження легуючої домішки в шари та випадання її у міжшаровий прошарок), який призводить до появи глибокого донорного рівня (приблизно по середині забороненої зони). Наслідком існування механізму самокомпенсації домішок є стабільне положення рівня Фермі в цьому напівпровіднику, яке не залежить від концентрації носіїв заряду, визначеної із холівських вимірювань. Причому концентрація носіїв заряду N_t на глибокому донорному рівні може значно перевищувати концентрацію акцепторів. І дійсно, N_t знайдена із нахилу вольт-фарадних характеристик (ВФХ) ГП p-InSe-p-GaSe, які описуються класичним для різних бар'єрів виразом

$$C^{-2}(V) = (V - \phi_0) / e \epsilon \epsilon_0 N_t, \quad (2)$$

становить $\sim 2 \cdot 10^{15}$ см⁻³, що більш ніж на порядок перевищує аналогічну величину в глибині напівпровідника, знайдену із холівських вимірювань ($6 \div 8 \cdot 10^{13}$ см⁻³). Це свідчить, що поле в ОПЗ призводить до іонізації глибокого донорного рівня і, як наслідок, до утворення бар'єру в ізотопному ГП InSe-GaSe. Величина контактної різниці потенціалів ϕ_0 , визначена із ВФХ за методикою [12], становить

0,4 В, що в три рази менше величини бар'єру V_0 , визначеної із ВАХ. Така ситуація є типовою, для структур, що містять на границі розділу тонкий діелектричний прошарок [13], оскільки для таких структур висота бар'єру і дифузійний потенціал є різними поняттями. Слід зазначити, що попри розповсюджену думку, що склалася в літературі, стосовно інертності поверхні шаруватих напівпровідників до сорбції сторонніх атомів із атмосфери [1-5,8], жоден із оптичних контактів на основі InSe і GaSe (як із шаруватими напівпровідниками, наприклад [1,14], так і з традиційними для промисловості Si, Ge та ін., наприклад [15]) не може бути описаний в рамках моделі Андерсена для ідеальних ГП. В той же час, останні дослідження оптичних контактів свідчать про те, що нехтувати впливом проміжного прошарку ϵ , по меншій мірі, недоцільним [16], так як в ряді конкретних випадків електричні властивості оптичних контактів визначаються саме його властивостями [17]. Наявність проміжного діелектричного прошарку, роль якого може відігравати шар адсорбованих поверхніми атомів кисню [16], або прості та складні власні оксиди контактуючих напівпровідників [17] підтверджується і дослідженням ВФХ ГП p-InSe-p-GaSe в тому випадку, коли концентрації основних носіїв заряду в моноселенідах індію та галію є однаковими (результати досліджень готуються до друку), а також дає змогу пояснити значне перевищення фото-ерс насичення V_{oc} ($V_{oc} \approx 0,7 \div 0,8$ В) над величиною контактної різниці потенціалів [18,19].

На рис. 2 (криві 1÷4) представлено прямі вітки ВАХ ГП p-InSe-p-GaSe, виміряні в діапазоні температур $T = 230 \div 304$ К. Із врахуванням наявності тонкого діелектричного прошарку на границі розділу слідусе, що при невеликих прямих зміщеннях ($V < \phi_0/e$), тобто, коли опір діелектрика є значно меншим опору ОПЗ, електричні властивості структури визначаються властивостями останньої (перша ділянка на кривих 1÷4, рис. 2). Аналіз цих експериментальних даних приводить до висновку, що механізм струмопереносу в досліджуваному температурному інтервалі не є однаковим. Значення діодного коефіцієнту $n_1 > 2$

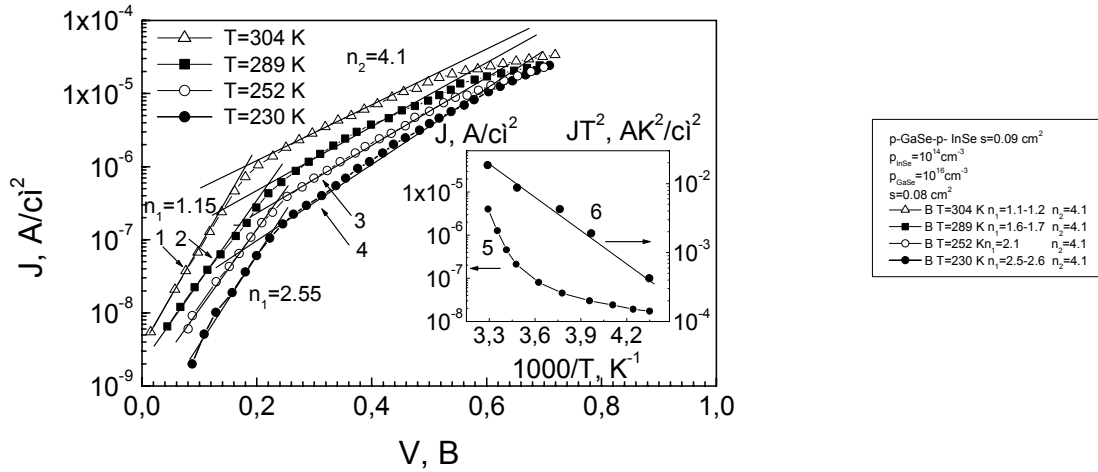


Рис. 2. Прямі вітки вольт-амперної характеристики структури p-InSe–p-GaSe (криві 1-4), виміряні при різних температурах, а також температурні залежності густини прямого струму на першій ділянці при фіксованій напрузі $V = 1,5$ В (крива 5) і густини струму насичення на другій ділянці.

(рис. 2, криві 3, 4), де до того ж спостерігається слабка зміна струму з температурою (рис. 2, крива 5), свідчать про домінуючий внесок тунелювання. Оскільки жоден із контактуючих напівпровідників не є виродженим, то пряме міжзонне тунелювання неможливе. В той же час можливе непряме тунелювання, а саме, коли електрони тунелюють із зони провідності InSe через ОПЗ і діелектричний прошарок на локальний рівень E_1 , а вже звідти переходять в валентну зону GaSe. В цьому випадку

$$J_{\text{tun}} \approx \alpha \cdot N_1 T_t \quad (3)$$

де α – постійна, N_1 – густина локальних центрів на рівні E_1 , а ймовірність тунелювання

$$T_t = \exp[-(8\pi^2)^{1/2} m^*{}^{1/2} E^{3/2} / 3ehE]. \quad (4)$$

В (4) E^* – енергія тунелювання і E – електричне поле. Підстановка (4) в (3) із відомим значенням електричного поля в різкому переході і E^* в функції висоти бар'єру призводить до виразу для тунельного струму:

$$J_{\text{tun}} \cong \alpha \cdot N_1 \exp[-\alpha(E_g - eV)], \quad (5)$$

який і визначає поведінку прямого струму при низьких T . При температурах близьких до кімнатної n_1 набуває значення ~ 2 (рис. 2, крива 2), що характерно для протікання генераційно-рекомбінаційних процесів в ОПЗ:

$$J_{g-r} \approx \exp[e(2E_t - E_g + V) / 2kT], \quad (6)$$

де E_t – глибина рекомбінаційного рівня. При подальшому підвищенні температури значення n_1 наближається до 1 (рис. 2, крива 1), що свідчить про домінування надбар'єрного струму, який в рамках узагальненої термоелектронно-дифузійної теорії Кроуела і Зі [13], описується виразом:

$$J_b = A^{**} T^2 \exp(-e\phi_0 / kT) [\exp(eV / kT) - 1] \quad (7)$$

і зростає з температурою значно скоріше ($\sim T^2$), ніж тунельні і рекомбінаційні струми. В (3) A^{**} – ефективна постійна Річардсона. Таким чином загальний струм при прямих зміщеннях $V < \phi_0 / e$ можна представити у вигляді суми:

$$J = J_b + J_{g-r} + J_{\text{tun}}. \quad (8)$$

Збільшення прямого зміщення призводить до зменшення ширини ОПЗ і, як наслідок, до зменшення її опору. В цьому випадку електричні властивості досліджуваного ГП будуть визначатися в основному опором діелектричного прошарку. При $V \geq \phi_0 / e$ значення діодного коефіцієнту зростає до $n_2 = 4,1$ (рис. 2, криві 1-4), однак залишається постійним у всьому інтервалі досліджуваних температур. Такий характер залежності струму від напруги виключає тунелювання, струми, обмежені просторовим зарядом, та іонну провідність із можливих механізмів струмопереносу через ізолюючий прошарок. А лінійність ВАХ на ділянці $V = 0,2 \div 0,9$ В в координатах $V = f(V^{1/2})$ (рис. 3, криві 1-4) а також добутку JT^2 як функції від оберненої температури (рис. 1, крива 6) свідчить, що основним механізмом переносу в даній області прямих зміщень є емісія Шоткі [13], яка описується виразом:

$$J = A^* T^2 \exp[-e(\phi_B - (eV / 4\pi d \epsilon_0 \epsilon_i)^{1/2}) / kT], \quad (9)$$

де A^* – постійна Річардсона, ϕ_B – висота бар'єру, d – товщина діелектрика, ϵ_i – його діелектрична проникливість, ϵ_0 – діелектрична проникливість вакууму. Однак нахил ВАХ на ділянці прямих зміщень $V = 0,2 \div 0,9$ В є спотвореним із-за впливу послідовного опору структури. Тому для оцінки ϕ_B і d вимірювалася фотоелектрична модифікація прямої вітки (залежність напруги холостого ходу від струму короткого замикання), яка представлена на рис. 3 (крива 5). Знайдена із нахилу ділянки з $n = 2$ ВАХ, перебудованої в координатах $\lg I = f(V^{1/2})$, за формулою [20]:

$$\text{tg}\beta = 0,43(e^3 / 4\pi \epsilon_0 \epsilon_i d)^{1/2} / kT, \quad (10)$$

в припущенні, що діелектричним прошарком є шар, адсорбованих поверхніями контактуючих напівпровідників, атомів кисню [16], товщина d становить $4 \div 6 \cdot 10^{-10}$ м, що добре узгоджується із результатами роботи [17]. А знайдена із (9) величина ϕ_B знаходиться в межах $1,12 \div 1,16$ еВ при кімнатній температурі для різних зразків, що добре

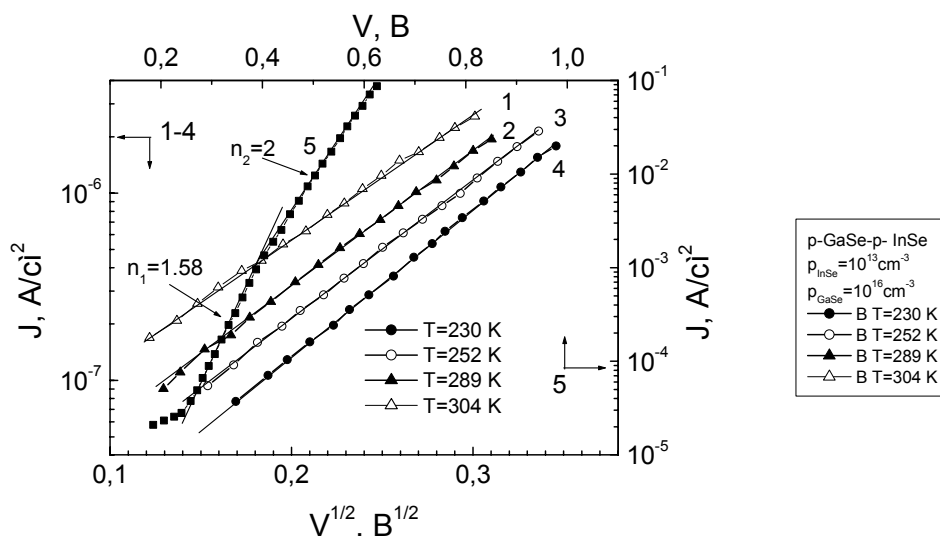


Рис. 3. Прямі вітки вольт-амперної характеристики структури p-InSe-p-GaSe (криві 1-4), виміряні при різних температурах в діапазоні напруг $V = 0,2 \div 0,65$ В в координатах $J = f(V^{1/2})$, а також фотоелектрична модифікація прямої вітки структури при $T = 290$ К.

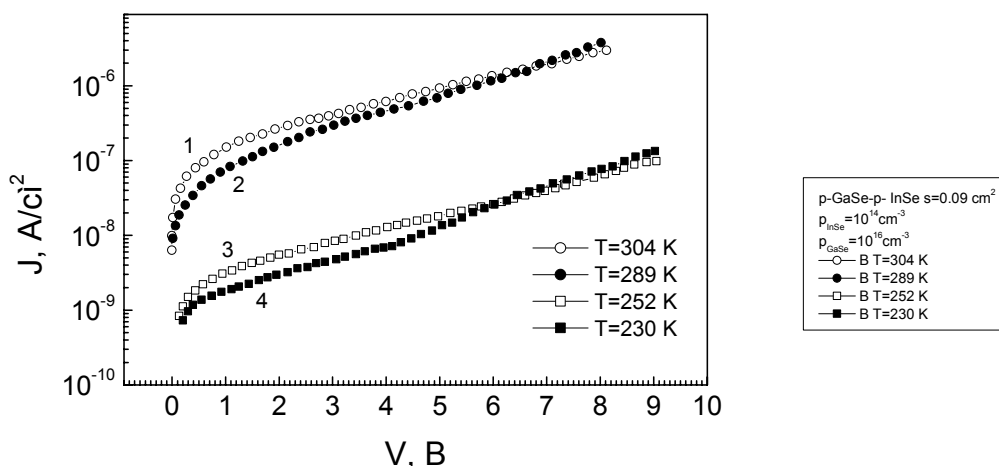


Рис. 4. Обернені вітки вольт-амперної характеристики структури p-InSe-p-GaSe, виміряні при різних температурах.

співпадає із значенням V_0 , знайденим із ВАХ (рис. 1).

Обернені вітки ВАХ (рис. 4, криві 1-4) при $V \leq 0,4$ В є близькими до лінійних, що скоріше за все пов'язано або ж із струмами втрат, або ж з шунтуючою дією неконтрольованих включень в площину ГП таких як, наприклад, мікроскопічні пилінки, які потрапили в структуру при її виготовленні. В діапазоні обернених зміщень $0,4 < V < 4 \div 5$ В описується виразом

$$J \sim (\varphi_0 - eV)^{1/2}, \quad (11)$$

характерним для рекомбінації в ОПЗ [21]. Оскільки генераційно-рекомбінаційні струми є чутливими до E_b , наявність двох груп кривих при різних температурах вимірювання (рис. 4) свідчить про те, що генераційно-рекомбінаційні процеси при різних температурах протікають за участю рівнів з різною глибиною залягання. Причому оцінка різниці в положенні глибини залягання цих двох рівнів є досить

суттєвою, і по попереднім оцінкам (без врахування температурної залежності ширини забороненої зони базового напівпровідника) становить $\sim 0,4$ еВ, що добре узгоджується із енергетичною моделлю p-InSe, запропонованою в [11]. При подальшому збільшенні оберненої напруги сублінійна залежність $J = f(V)$ змінюється надлінійною і свідчить про те, що домінуючу роль у проходженні струму через ОПЗ починає відігравати тунелювання. Причому при зменшенні T (для кожної групи кривих) домінування тунелювання настає при менших напругах. Цей факт добре узгоджується із теорією і спостерігається для цілого ряду структур, наприклад, для діодів Шоткі на основі CdTe [22].

Ще однією особливістю обернених віток ВАХ ізотипних ГП p-InSe-p-GaSe є поява ділянок з від'ємною диференційною провідністю в області $8,5 < V < 12$ В при кімнатній і вищих T . Аналіз причин такої поведінки ВАХ становить собою

предмет окремого дослідження. Відмітимо тільки деякі із можливих причин появи такого типу ділянок.

1. Надлінійне зростання струму, як функції від оберненої напруги, в порівнянні із сублінійною ділянкою може бути пов'язане також із надбар'єрними струмами. В цьому випадку, згідно моделі, запропонованої в [23], захоплення носіїв заряду глибокими пастками в діелектричному шарі може спричинити збільшення висоти бар'єру і зменшення оберненого струму. 2. Причиною виникнення ділянок з від'ємною диференційною провідністю може бути і різниця в швидкості генераційно-рекомбінаційних процесів в тій частині ОПЗ де напруженості поля достатньо для іонізації глибоких донорних рівнів (в пограничному шарі р-InSe, який веде себе, як напівпровідник n-типу провідності) і на деякій віддалі X від границі розділу і в об'ємі базового напівпровідника, де р-InSe залишається матеріалом р-типу провідності.

III. Висновки

Таким чином електричні властивості ізотопних ГП р-InSe-р-GaSe, які, по суті справи, становлять собою "віртуальний" транзистор з некерованою базою, володіють цілим рядом особливостей в порівнянні з анізотипними, що зумовлено складною енергетичною будовою базового моноселеніду індію.

В завершення відмітимо, що отримані дані по особливостям електричних властивостей структур слід враховувати при реалізації можливих прикладних використань, в тому числі і в якості радіаційно стійких фотодетекторів для видимої та ближньої ІЧ ділянки спектрального діапазону.

- [1] В.Л. Бакуменко, В.Ф. Чишко. Способ изготовления р-n- и гетеропереходов // А.с. 631014 СССР, МКИЗ Н 01. – Опубликовано 15.05.82, Бюл. N 18.
- [2] В.Л. Бакуменко, З.Д. Ковалюк, Л.Н. Курбатов, В.Г. Тагаев, В.Ф. Чишко. Исследование гетеропереходов InSe-GaSe, приготовленных посадкой на оптический контакт. I. Электрические характеристики неосвещенных переходов // *ФТП*, **14**(6), сс. 1115-1119 (1980).
- [3] Т.В. Аверьянова, В.Л. Бакуменко, Л.Н. Курбатов, В.Г. Тагаев, В.Ф. Чишко. Исследование гетеропереходов InSe-GaSe, приготовленных посадкой на оптический контакт. II. Характеристики переходов с освещенным слоем // *ФТП*, **14**(8), сс. 1573-1577 (1980).
- [4] В.Л. Бакуменко, В.Г. Тагаев. Инжекция основных носителей через гетеропереход InSe-GaSe // *ФТП*, **16**(10), сс. 1825-1827 (1982).
- [5] В.Н. Катеринчук, З.Д. Ковалюк, В.А. Манассон, К.Д. Товстюк. О механизме протекания тока в гетеропереходе GaSe-InSe // *ФТП*, **21**(2), сс. 380-381 (1987).
- [6] Г.Б. Абдуллаева. Влияние гамма-нейтронного и электронного облучения на фоточувствительные структуры из GaSe // *ФТП*, **15**(4), сс. 799-801 (1981).
- [7] V.P. Savchyn, J.M. Stakhira, Ya.M. Fiyala, V.B. Furtak. Photoelectric properties of nGa₂O₃-pGaSe-p-InSe cascade heterostructures // *Semiconductor Physics, Quantum Electronics & Optoelectronics*, **5**(2), pp. 176-179 (2002).
- [8] Landolt-Bornstein. *Numerical data and functional relationships in science and technology new ser. group III: Crystal and solid state physics*. **17**, sv. F / Ed. by Madelung O. Berlin: Springer, (1983).
- [9] J. Martinez-Pastor, A. Segura, J.L. Valdes, A. Chevy. Electrical and photovoltaic properties of indium-tin-oxide/p-InSe/Au // *J. Appl. Phys*, **62**(4), pp. 1477-1483 (1987).
- [10] R.R. Daniels, G. Margaritondo, C. Quaresima, P. Perfetti, F. Levy. Summary Abstract: GaSe-Ge and GaSe-Si: Two possible examples of Scottky-like behavior of heterojunctuon interfaces // *J. Vac. Sci. Technol*, **A3**(3), pp. 979-980 (1985).
- [11] A. Segura, M.C. Martinez-Tomas, B. Mari, A. Casanovas, A. Chevy. Acceptor levels in indium selenide. An investigation by means of the Hall effect, deep-level-transient spectroscopy and photoluminescence // *J. Appl. Phys*, **A 44**(3), pp. 249-260 (1987).
- [12] Ю.А. Гольдберг, О.В. Иванова, Т.В. Львова, Б.В. Царенков. К вопросу об определении контактной разности потенциалов структуры с потенциальным барьером // *ФТП*, **18**(8), сс. 1472-1475 (1984).
- [13] С. Зи. *Физика полупроводниковых приборов*. В 2-х т. Т. 2. Мир, М. 456 с. (1982).
- [14] В.Н. Катеринчук, З.Д. Ковалюк, В.В. Нетяга, Т.В. Беца. Гетеропереходы n-SnSSe-p-InSe // *Письма в ЖТФ*, **26**(17), сс. 6-10 (2000).
- [15] О. Ярчук. Гетеропереходи InSe-ZnSe // *Вісник львівського у-ту. Сер. Фізична*, В друці.
- [16] С.И. Драпак, В.Б. Орлецкий, З.Д. Ковалюк. Изменение контактной разности потенциалов фотодиода на основе гетероперехода n-InSe-р-GaSe в процессе "старения" // *ФТП*, **38**(5), сс. 566-569 (2004).
- [17] С.И. Драпак, В.А. Манассон, В.В. Нетяга, З.Д. Ковалюк. Электрические свойства изотипной гетероструктуры р⁺-Bi₂Te₃-р-GaSe // *ФТП*, **37**(2), сс. 180-186 (2003).
- [18] S.I. Drapak, V.N. Katerinchuk, Z.D. Kovalyuk, V.A. Manasson. The Injection Peculiarities of Minority Charge Carriers in the Anisotype SIS Structure // *Phys. Stat. Sol.*, **A 115**, pp. K35-K37 (1989).

- [19] А.Я. Вуль, А.В. Савченко. Фотоэлектрические свойства структур металл-диэлектрик-полупроводник с туннельно-прозрачным слоем диэлектрика // *ФТП*, **17**(8), сс. 1361-1376 (1983).
- [20] П.Т. Орешкин. *Физика полупроводников и диэлектриков*. Высшая школа, М., 448 с. (1977).
- [21] В.И. Стриха. *Контактные явления в полупроводниках*. Высшая школа, К., 223 с. (1982).
- [22] Л.А. Косяченко, С.Ю. Паранчич, Ю.В. Танасюк, В.М. Склярчук, Е.Ф. Склярчук, Е.Л. Маслянчук, В.В. Мотушук. Генерационно-рекомбинационные центры в CdTe:V // *ФТП*, **37**(4), сс. 469-472 (2003).
- [23] С.И. Драпак, В.А. Манассон, В.В. Нетяга, З.Д. Ковалюк. Возникновение отрицательной дифференциальной проводимости в изотипной гетероструктуре p⁺-Bi₂Te₃-p-GaSe // *Письма в ЖТФ*, **28**(15), сс. 86-94 (2002).

S.I. Drapak, Z.D. Kovalyuk

The Electrical Properties Peculiarities of the Isotype p-GaSe-p-InSe Heterojunction

*Frantsevich Institute of Material Sciences Problems,
National Academy of Sciences of the Ukraine, Chernivtsi Department,
5, I. Vilde Str., Chernivtsi, 58001, Ukraine
tel: 8(+03722) 2-00-50, E-mail: chimsp@unicom.cv.ua*

The first studies of isotype heterojunction p-GaSe-p-InSe are presented. Analysis of experimental results have made possible to determine the main transport mechanisms governed rectifying properties of the structure; to explain how can be the open circuit voltage higher than barrier height and other peculiarities of the heterostructure.